

УДК 539.194.01

**ВЫВОД ПРОИЗВОДНЫХ ДИПОЛЬНОГО МОМЕНТА МОЛЕКУЛ  $U_2V_6$**   
**СИММЕТРИИ  $D_{3d}$  ПО НОРМАЛЬНЫМ КООРДИНАТАМ**  
**НА ОСНОВЕ МОДЕЛИ ЭФФЕКТИВНЫХ АТОМНЫХ ЗАРЯДОВ**  
**И РАСЧЕТ ЭЛЕКТРООПТИЧЕСКИХ ПАРАМЕТРОВ ЭТАНА**

*A. M. Прима, И. А. Прима, А. Б. Ковриков и Д. С. Умрейко*

Получены аналитические выражения для производных дипольного момента молекул  $U_2V_6$  симметрии  $D_{3d}$  по нормальным координатам на основе модели эффективных атомных зарядов, описан метод получения этих производных, найдена связь параметризации по валентно-оптической теории с параметризацией по модели эффективных атомных зарядов для молекул данного типа. При помощи автоматизированного итерационного метода расчета силовых постоянных уточнена система силовых постоянных и рассчитаны электрооптические параметры этана.

### Введение

В настоящее время выполнено большое количество работ, посвященных расчету электрооптических параметров и интенсивностей в инфракрасных спектрах соединений различных классов на основе валентно-оптической теории [1-5] и теории интенсивностей Маянца—Авербуха [6-7]. Результаты представлены в монографии по теории интенсивностей в колебательных спектрах и методам расчета [5]. Трудности выполнения полуэмпирических расчетов заключаются в неоднозначности выбора знаков производных дипольного момента молекулы по нормальным координатам, большом числе параметров и недостаточной точности вычисления силовых постоянных. Все это вызывает необходимость разработки оптимальных методов исследования и схем расчета. В работе [8] получена общая формула для дипольного момента молекулы на основе схемы молекулярных орбит в рамках приближенного метода *NDDO*, из которой следует полуэмпирический способ расчета интенсивностей по модели эффективных атомных зарядов. Параметризация в этом случае содержит такие характеристики молекул, как электронные плотности, связанные с соответствующими ядрами, и величины, определяемые гибридизацией базисных орбиталей в валентных молекулярных орбитах.

Представляет интерес получить выражения для производных дипольного момента молекул типа  $U_2V_6$  симметрии  $D_{3d}$  по нормальным координатам на основе методики эффективных атомных зарядов. Такой структурой характеризуются молекулы этана, дисилана и дигермана и их дайтеропроизводные. Молекулы этих практически важных соединений могут иметь геометрию с валентными углами, отклоняющимися от тетраэдрических. Результаты следует сопоставить с производными дипольного момента этих молекул по нормальным координатам, полученными в [5, 9] на основе параметризации по валентно-оптической теории. Важно также получить формулы для основных параметров валентно-оптической теории  $\mu_i$  и  $\partial\mu_i/\partial q_i$  как функций параметров по модели эффективных атомных зарядов [8]  $\zeta_i$ ,  $\delta_i$  и их производных по колебательным координатам. Применяя более совершенные и точные данные по интенсивностям ИК полос этана и дайтероэтана симметрии  $D_{3d}$  [10] и уточняя силовые постоянные по итерационному методу расчета силовых постоянных [11], представляет интерес вычислить линейные комбинации параметров, определяющих интенсив-

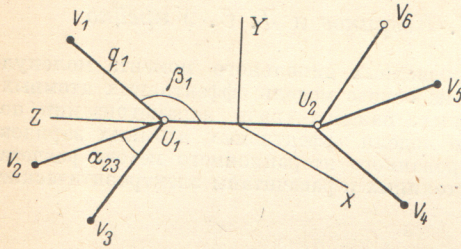
ности ИК полос этана по модели эффективных атомных зарядов [8]. Пренебрегая по мере необходимости малыми величинами в линейных комбинациях, необходимо вычислить значения самих коэффициентов.

Расчет производных дипольного момента  
молекул  $U_2V_6$  симметрии  $D_{3d}$   
по нормальным координатам

Согласно дополненному методу, основанному на модели эффективных атомных зарядов [8], производная дипольного момента  $\mu$  по нормальной координате  $Q_r$  представляет собой сумму трех слагаемых

$$\left(\frac{\partial \mu}{\partial Q_r}\right)^S = \left(\frac{\partial \mu^{(1)}}{\partial Q_r}\right)^S + \left(\frac{\partial \mu^{(2)}}{\partial Q_r}\right)^S + \left(\frac{\partial \mu^{(3)}}{\partial Q_r}\right)^S, \quad (4)$$

где  $S$  — обозначение типа симметрии колебания. Обозначим через  $\zeta_v^{(0)}$  и  $a_v^{(r)}$  эффективный заряд и смещение атома с индексом  $v$  при  $r$ -м нормальном колебании



Введенные естественные колебательные координаты молекул  $U_2V_6$  симметрии  $D_{3d}$ .

соответственно. Для данных молекул имеем

$$\left(\frac{\partial \mu^{(1)}}{\partial Q_r}\right)^S = \sum_{i=1}^6 \zeta_v^{(0)} a_{v_i}^{(r)} + \sum_{i=1}^2 \zeta_u^{(0)} a_{u_i}^{(r)}. \quad (2)$$

Выражение (2) определяется значениями эффективных зарядов  $\zeta_v^{(0)}$  и  $\zeta_u^{(0)}$  в равновесной конфигурации молекулы. Для нейтральной молекулы имеем

$$3\zeta_v^{(0)} + \zeta_u^{(0)} = 0. \quad (3)$$

Применяя обозначения  $R_v^{(0)}$  и  $x_k$  соответственно для радиус-вектора  $v$ -го ядра и колебательной координаты, получаем

$$\left(\frac{\partial \mu^{(2)}}{\partial Q_r}\right)^S = \sum_k \left[ \sum_{i=1}^6 R_{v_i}^{(0)} \frac{\partial \zeta_{v_i}}{\partial x_k} + R_{u_1}^{(0)} \frac{\partial \zeta_{u_1}}{\partial x_k} + R_{u_2}^{(0)} \frac{\partial \zeta_{u_2}}{\partial x_k} \right] \frac{\partial x_k}{\partial Q_r}. \quad (4)$$

Формула (4) описывает изменение дипольного момента молекулы вследствие изменения эффективных зарядов при нормальном колебании. Третий член в сумме (1) обусловлен гибридизацией базисных орбиталей, участвующих в молекулярных орбиталах. В результате дипольный момент  $\delta_{uv}$  может быть направлен приблизительно вдоль связи  $u - v$ . Он не изменяется по модулю при растяжении связи и вносит вклад в интенсивность только в результате поворота этой связи.

Поэтому третье слагаемое суммы (1) имеет вид

$$\left(\frac{\partial \mu^{(3)}}{\partial Q_r}\right)^S = \sigma_{uv}^{(0)} \delta_{uv}^{(0)} \sum_{i=1}^3 \left[ a_{v_i}^{(r)} - a_{u_i}^{(r)} - e_{uv} \frac{\partial q_i}{\partial Q_r} \right] + \sigma_{uv}^{(0)} \delta_{uv}^{(0)} \sum_{i=4}^6 \left[ a_{v_i}^{(r)} - a_{u_i}^{(r)} - e_{uv} \frac{\partial q_i}{\partial Q_r} \right], \quad (5)$$

где  $e_{uv}$  — единичные векторы связей  $u - v_i$ ,  $\sigma_{uv}^{(0)}$  — обратная величина длины связи. В качестве параметров геометрии равновесной конфигурации молекулы приняты длины связей  $S_{uv}^{(0)}$  и острый угол  $\theta_0$  между осью молекулы и связью  $u - v$ . Введенные колебательные координаты представлены на рисунке. В инфракрасном спектре активны две и три частоты типов симметрии соответственно  $A_{2u}$

и  $E_u$ . Методика расчета производных дипольного момента молекул по нормальным координатам включает применение координат симметрии как функций смещений ядер и условий Эккарта. В дальнейшем производится переход во всех слагаемых суммы (1) к координатам симметрии как функциям колебательных координат. Применяя следующие координаты симметрии:

$$\left. \begin{aligned} q^{A_{2u}} &= \frac{1}{\sqrt{6}} (q_1 + q_2 + q_3 - q_4 - q_5 - q_6), \\ \beta^{A_{2u}} &= \frac{1}{\sqrt{6}} (\beta_1 + \beta_2 + \beta_3 - \beta_4 - \beta_5 - \beta_6), \\ q^{E_u} &= \frac{1}{2} (q_2 - q_3 - q_5 + q_6), \\ \alpha^{E_u} &= \frac{1}{2} (\alpha_{13} - \alpha_{12} - \alpha_{46} + \alpha_{45}), \\ \beta^{E_u} &= \frac{1}{2} (\beta_2 - \beta_3 - \beta_5 + \beta_6). \end{aligned} \right\} \quad (6)$$

Применяя координаты симметрии как функции смещений атомов в формулах (2)–(5), условия Эккарта и (3), переходя затем к координатам симметрии (6), по формуле (1) получаем производные дипольного момента молекулы по нормальным координатам.

Тип симметрии  $A_{2u}$

$$\left( \frac{\partial \mu_x}{\partial Q_r} \right)^{A_{2u}} = \sqrt{6} \left\{ \cos \vartheta_0 X^{A_{2u}} \frac{\partial q^{A_{2u}}}{\partial Q_r} + S_{uv}^{(0)} \sin \vartheta_0 Y^{A_{2u}} \frac{\partial \beta^{A_{2u}}}{\partial Q_r} \right\},$$

где

$$\left. \begin{aligned} X^{A_{2u}} &= \zeta_v^{(0)} + S_{uv}^{(0)} \frac{\partial \zeta_{v_1}}{\partial q_1} + 2S_{uv}^{(0)} \frac{\partial \zeta_{v_1}}{\partial q_2}, \\ Y^{A_{2u}} &= \zeta_v^{(0)} + \sigma_{uv}^{(0)} \delta_{uv}^{(0)} + \operatorname{ctg} \vartheta_0 \left[ \frac{\partial \zeta_{v_1}}{\partial \beta_1} + 2 \frac{\partial \zeta_{v_1}}{\partial \beta_2} - \frac{2\sqrt{3} \cos \vartheta_0}{\sqrt{1+3 \cos^2 \vartheta_0}} \left( \frac{\partial \zeta_{v_1}}{\partial \alpha_{23}} + 2 \frac{\partial \zeta_{v_1}}{\partial \alpha_{12}} \right) \right]. \end{aligned} \right\} \quad (7)$$

Тип симметрии  $E_u$

$$\left. \begin{aligned} \left( \frac{\partial \mu_y}{\partial Q_r} \right)^{E_u} &= \sqrt{3} \left\{ \sin \vartheta_0 X^{E_u} \frac{\partial q^{E_u}}{\partial Q_r} - 2S_{uv}^{(0)} \cos \vartheta_0 Y^{E_u} \frac{\partial \beta^{E_u}}{\partial Q_r} + \right. \\ &\quad \left. + S_{uv}^{(0)} \sqrt{\frac{1+3 \cos^2 \vartheta_0}{3}} Z^{E_u} \frac{\partial \alpha^{E_u}}{\partial Q_r} \right\}, \end{aligned} \right. \quad (8)$$

где

$$\left. \begin{aligned} X^{E_u} &= \zeta_v^{(0)} + S_{uv}^{(0)} \frac{\partial \zeta_{v_1}}{\partial q_1} - S_{uv}^{(0)} \frac{\partial \zeta_{v_1}}{\partial q_2}, \\ Y^{E_u} &= \zeta_v^{(0)} + \sigma_{uv}^{(0)} \delta_{uv}^{(0)} - \frac{1}{2} \operatorname{tg} \vartheta_0 \left( \frac{\partial \zeta_{v_1}}{\partial \beta_1} - \frac{\partial \zeta_{v_1}}{\partial \beta_2} \right), \\ Z^{E_u} &= \zeta_v^{(0)} + \sigma_{uv}^{(0)} \delta_{uv}^{(0)} - \sin \vartheta_0 \sqrt{\frac{3}{1+3 \cos^2 \vartheta_0}} \left( \frac{\partial \zeta_{v_1}}{\partial \alpha_{13}} - \frac{\partial \zeta_{v_1}}{\partial \alpha_{23}} \right). \end{aligned} \right.$$

Сопоставление линейных комбинаций параметров  $X^{A_{2u}}, Y^{A_{2u}}, X^{E_u}, Y^{E_u}, Z^{E_u}$  с соответствующими линейными комбинациями параметров, полученных в соответствии с валентно-оптической теорией [5, 9] при  $\cos \vartheta_0 = 1/3$ , приводит к следующим формулам:

$$\frac{\partial \mu_{uv_1}}{\partial q_1} = \zeta_v^{(0)} + S_{uv}^{(0)} \frac{\partial \zeta_{v_1}}{\partial q_1}, \quad \frac{\partial \mu_{uv_1}}{\partial q_2} = S_{uv}^{(0)} \frac{\partial \zeta_{v_1}}{\partial q_2}, \quad (9)$$

$$\frac{1}{S_{uv}^{(0)}} \mu_{uv}^{(0)} = \zeta_v^{(0)} + \sigma_{uv}^{(0)} \delta_{uv}^{(0)}, \quad \frac{1}{S_{uv}^{(0)}} \frac{\partial \mu_{uv_1}}{\partial \beta_i} = \frac{\partial \zeta_{v_1}}{\partial \beta_i}, \quad \frac{1}{S_{uv}^{(0)}} \frac{\partial \mu_{uv_1}}{\partial \alpha_{i3}} = \frac{\partial \zeta_{v_1}}{\partial \alpha_{i3}},$$

причем  $i = 1, 2$ .

Естественно предположить, что величина  $\partial\zeta_{v_1}/\partial q_1$  мала в сравнении с  $\zeta_v^{(0)}$ . Поэтому различие в знаках основных электрооптических параметров валентно-оптической теории  $\mu_{uv}^{(0)}$  и  $\partial\mu_{uv_1}/\partial q_1$  определяется знаком и величиной параметра  $\delta_{uv}^{(0)}$  по отношению к  $\zeta_v^{(0)}$ . Формулы (9) снимают противоречие между параметризациями по валентно-оптической теории и по модели эффективных атомных зарядов.

### Расчет параметров, определяющих интенсивности ИК полос этана по модели эффективных атомных зарядов

Точность вычисления электрооптических параметров в значительной мере зависит от точности нахождения системы силовых постоянных и коэффициентов форм нормальных колебаний. Применяя автоматизированный итерационный метод расчета силовых постоянных [11], который дает возможность оценить производные частот по силовым постоянным, вычислили силовые постоянные этана и дейтероэтана симметрии  $D_{3d}$  по нулевым частотам, взятым из работы [12].

Таблица 1

Матрица силовых постоянных  
в координатах симметрии  
типа  $A_{2u}$

$qA_{2u}^*$	$\beta A_{2u}$
5.398	-0.577
-	1.288

Таблица 2

Матрица силовых постоянных  
в координатах симметрии типа  $E_u$

$qE_u^*$	$\beta E_u$	$\alpha E_u$
5.419	0.166	-0.370
-	0.544	-0.030
-	-	0.666

Примечание. \* Первые элементы табл. 1 и 2 даны в мдин/Å.

Результаты приведены в табл. 1 и 2. Для расчетов представляет интерес рассмотреть интенсивности типа

$$B_r = \frac{1}{nl} \int_{\text{полоса}} \ln \left( \frac{T_0}{T} \right) dv,$$

приведенные в работе [10]. В связи с тем что некоторые данные по интенсивности представляют собой сумму интенсивностей двух полос, раздельные значения последних получены посредством перенесения отношения интенсивностей, взятых из работы [13]. Поскольку матрица коэффициентов форм нормальных колебаний очень близка к диагональной матрице, можно придавать знаки производным дипольного момента молекулы по  $Q_r$ , так, чтобы получить заданный знак для каждой линейной комбинации электрооптических параметров. На основе квантовохимических представлений параметры  $X^s$  приняты положительными. Учитывая, что параметры  $Y^s$ ,  $Z^s$  имеют аналогичное выражение, естественно принять и исследовать две возможности, когда  $Y^s$  и  $Z^s$  имеют: I) одинаковый знак с  $X^s$ , II) противоположный знак по отношению к  $X^s$ .

Результаты расчета линейных комбинаций параметров, определяющих интенсивности ИК полос по модели эффективных зарядов, представлены в табл. 3. Вариант расчета II дает более близкие значения всех линейных комбинаций параметров молекул  $C_2H_6$  и  $C_2D_6$ , поэтому окончательный усредненный результат дан по варианту II. В результате получаем в  $D/\text{\AA}$

$$X^{A_{2u}} = 1.292, \quad Y^{A_{2u}} = -0.175,$$

$$X^{E_u} = 0.803, \quad Y^{E_u} = -0.235, \quad Z^{E_u} = -0.295.$$

Преимущество этой системы линейных комбинаций параметров, определяющих интенсивности ИК полос, проявляется при рассмотрении интенсивностей всех полос (табл. 4). Все же дальнейшие вычисления целесообразно выполнить для

Таблица 3  
Линейные комбинации электрооптических параметров (в D/A)  
при двух вариантах набора знаков для производных  
дипольного момента молекулы по  $Q_r^*$

Линейные комбинации параметров	C <sub>2</sub> H <sub>6</sub>		C <sub>2</sub> D <sub>6</sub>	
	I	II	I	II
X <sup>A<sub>2u</sub></sup>	1.326	1.292	1.266	1.292
Y <sup>A<sub>2u</sub></sup>	0.074	-0.173	0.093	-0.177
X <sup>E<sub>u</sub></sup>	0.678	0.777	0.578	0.830
Y <sup>E<sub>u</sub></sup>	0.185	-0.236	0.190	-0.234
Z <sup>E<sub>u</sub></sup>	0.227	-0.299	0.285	-0.291

П р и м е ч а н и е. \* Вариант I соответствует одинаковому знаку параметров X<sup>S</sup>, Y<sup>S</sup>, Z<sup>S</sup>; вариант II представляет случай, когда Y<sup>S</sup> и Z<sup>S</sup> противоположны по знаку относительно X<sup>S</sup>.

два варианта, причем верхние значения соответствуют варианту I, нижние — II.  
Решая систему уравнений с X<sup>A<sub>2u</sub></sup> и X<sup>E<sub>u</sub></sup>, получаем

$$\zeta_{\text{H}}^{(0)} + S_{\text{CH}}^{(0)} \frac{\zeta_{\text{H}_1}}{\partial q_1} = \begin{cases} 0.851 (0.177), \\ 0.966 (0.201), \end{cases}$$

$$S_{\text{CH}}^{(0)} \frac{\zeta_{\text{H}_1}}{\partial q_2} = \begin{cases} 0.223 (0.046), \\ 0.163 (0.034). \end{cases}$$

Таблица 4  
Интенсивности инфракрасных полос  $B_r$  (л · моль<sup>-1</sup> см<sup>-2</sup>)  
и нулевые частоты  $\omega$  (см<sup>-1</sup>) этана и дейтероэтана

Молекула	Тип симметрии	Номер колебания	$\omega$	$B_r$		
				эксперимент [10]	расчет	
					I	II
C <sub>2</sub> H <sub>6</sub>	$E_u$	40	3140	{ } 17800	11260	13620
	A <sub>2u</sub>	5	3060		4750	4980
	$E_u$	11	1526	{ } 1830	1750	1310
	A <sub>2u</sub>	6	1438		470	430
	$E_u$	12	822	630	660	610
	$E_u$	10	2316	6440	7120	6130
C <sub>2</sub> D <sub>6</sub>	A <sub>2u</sub>	5	2169	2410	2520	2410
	$E_u$	11	1111	{ } 1200	710	940
	A <sub>2u</sub>	6	1112		260	280
	$E_u$	12	594	330	315	335

В скобках приводятся значения параметров в единицах электронного заряда. Решение системы уравнений с X<sup>A<sub>2u</sub></sup>, Y<sup>E<sub>u</sub></sup>, Z<sup>E<sub>u</sub></sup> невозможно без пренебрежения более далекими влияниями  $\partial\zeta_{\text{H}_1}/\partial\beta_2$  и  $\partial\zeta_{\text{H}_1}/\partial\alpha_{23}$ . Принимая значения параметров равновесной конфигурации этана  $\vartheta_0 = 70^\circ 23'$  и  $S_{\text{CH}}^{(0)} = 1.102 \text{ \AA}^{[12]}$ , получаем

$$\frac{\partial\zeta_{\text{H}_1}}{\partial\beta_1} = \begin{cases} -0.133 (-0.028), \\ 0.086 (0.018), \end{cases}$$

$$\frac{\partial\zeta_{\text{H}_1}}{\partial\alpha_{12}} = \begin{cases} -0.181 (-0.038), \\ 0.128 (0.027). \end{cases}$$

и дипольный момент связи

$$\frac{1}{S_{\text{CH}}^{(0)}} \mu_{\text{CH}}^{(0)} = \begin{cases} 0.002 (0.001), \\ -0.114 (-0.024). \end{cases}$$

Аналогично молекуле этилена по предварительным расчетам знаки параметров  $\partial\zeta_{H_1}/\partial\beta_1$  и  $\partial\zeta_{H_1}/\partial\alpha_{12}$  положительны во втором варианте расчета. Параметр  $\partial\zeta_{H_1}/\partial\alpha_{12}$  значительно превышает по величине  $\partial\zeta_{H_1}/\partial\beta_1$ . Это можно объяснить следующим образом. Расстояния между ядрами H...H, определяющими в значительной мере валентный угол HCH, меньше расстояния между несвязанными ядрами H...C валентного угла HCC. Поэтому двуцентровые интегралы с центрами на несвязанных атомах H, H вносят больший вклад в эффективные заряды по сравнению с двуцентровыми интегралами с центрами на несвязанных атомах H, C. Эффективные атомные заряды, обусловленные этими интегралами, изменяются с изменением межатомного расстояния. Таким образом, параметр  $\partial\zeta_{H_1}/\partial\alpha_{12}$  должен превышать по величине параметр  $\partial\zeta_{H_1}/\partial\beta_1$ .

Отрицательный знак дипольного момента связи  $\mu_{CH}^{(0)}$ , согласно формулам (9), объясняется тем, что дипольный момент  $\delta_{CH}^{(0)}$  противоположно направлен по отношению к дипольному моменту этой связи, обусловленному эффективными зарядами  $S_{CH}^{(0)}\zeta_{H_1}^{(0)}$ , и значительно превышает его по величине. Большая величина  $\delta_{CH}^{(0)}$  в сравнении с эффективным зарядом  $\zeta_{H_1}^{(0)}$  для молекулы метана подтверждается квантовомеханическим расчетом на основе модели электронной плотности молекулы по одноцентровому минимальному базису с центром на ядре углерода.

### Литература

- [1] М. В. Волькенштейн, М. А. Ельяшевич, Б. И. Степанов. Колебания молекул, т. 2. ГИТТЛ, М.—Л., 1949.
- [2] М. В. Волькенштейн. ДАН СССР, 32, 185, 1941.
- [3] М. В. Волькенштейн, Л. А. Грибов, М. А. Ельяшевич, Б. И. Степанов. Колебания молекул. Наука, М., 1972.
- [4] Л. М. Свердлов. Опт. и спектр., 10, 76, 1961; 10, 371, 1961.
- [5] Л. М. Свердлов, М. А. Ковнер, Е. П. Крайнов. Колебательные спектры многоатомных молекул. Наука, М., 1972.
- [6] Л. С. Маяниц, Б. С. Авэрбух. Теория и расчет интенсивностей в колебательных спектрах молекул. Наука, М., 1971.
- [7] L. S. Mayants, B. Averbuch. J. Mol. Spectr., 22, 197, 1967.
- [8] А. М. Прима, В. М. Прима, А. Б. Ковриков, Д. С. Умрейко. Изв. АН БССР, сер. физ.-мат. наук, № 1, 89, 1981.
- [9] Л. М. Свердлов, Н. И. Прохофьева. Опт. и спектр., 15, 424, 1963.
- [10] S. Kondo, S. Saeki. Spectrochim. Acta, 29A, 735, 1973.
- [11] А. М. Прима, Д. С. Умрейко. Тез. докл. Всес. конф. «Использование вычислительных машин в спектроскопии молекул и химических исследованиях», 94. Новосибирск, 1980.
- [12] G. E. Hansen, D. Dennison. J. Chem. Phys., 20, 313, 1952.
- [13] I. M. Nyquist, W. B. Person, B. Crawford. J. Chem. Phys., 26, 552, 1957.

Поступило в Редакцию 17 июля 1981 г.